

# Relatório - Trabalho 01

## MO443 - Introdução ao Processamento de Imagem Digital

VINICIUS TEIXEIRA DE MELO - RA: 230223

Universidade Estadual de Campinas

[viniciusteixeira@liv.ic.unicamp.br](mailto:viniciusteixeira@liv.ic.unicamp.br)

15 de Abril de 2019

### I. ESPECIFICAÇÃO DO PROBLEMA

O objetivo deste trabalho é implementar alguns filtros de imagens no domínio espacial e de frequências. A filtragem aplicada a uma imagem digital é uma operação local que altera os valores de intensidade dos pixels da imagem levando-se em conta tanto o valor do pixel em questão quanto valores de pixels vizinhos.

No processo de filtragem, utiliza-se uma operação de convolução de uma máscara pela imagem. Este processo equivale a percorrer toda a imagem alterando seus valores conforme os pesos da máscara e as intensidades da imagem.

O trabalho está dividido em duas seções principais:

- Filtragem no Domínio Espacial
- Filtragem no Domínio de Frequências

Na seção de filtragem no domínio espacial, são dados 4 seguintes tipos de filtros:

$$(a) h_1 = \begin{bmatrix} 0 & 0 & -1 & 0 & 0 \\ 0 & -1 & -2 & -1 & 0 \\ -1 & -2 & 16 & -2 & -1 \\ 0 & -1 & -2 & -1 & 0 \\ 0 & 0 & -1 & 0 & 0 \end{bmatrix}$$

$$(b) h_2 = \frac{1}{256} \begin{bmatrix} 1 & 4 & 6 & 4 & 1 \\ 4 & 16 & 24 & 16 & 4 \\ 6 & 24 & 36 & 24 & 6 \\ 4 & 16 & 24 & 16 & 4 \\ 1 & 4 & 6 & 4 & 1 \end{bmatrix}$$

$$(c) h_3 = \begin{bmatrix} -1 & 0 & 1 \\ -2 & 0 & 2 \\ -1 & 0 & 1 \end{bmatrix}$$

$$(d) h_4 = \begin{bmatrix} -1 & -2 & -1 \\ 0 & 0 & 0 \\ 1 & 2 & 1 \end{bmatrix}$$

As aplicações dos filtros devem ser feitas de forma individual, porém, os filtros  $h_3$  e  $h_4$  devem ser aplicados de forma combinada, somando-se as respostas de cada um dos filtros por meio da seguinte expressão:  $\sqrt{(h_3)^2 + (h_4)^2}$ .

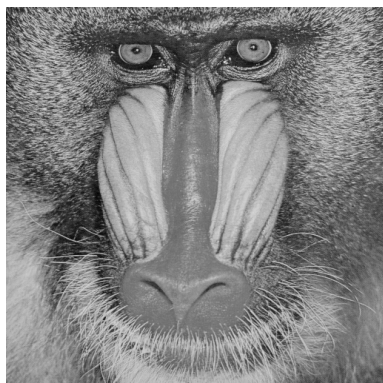
Na seção de filtragem no domínio de frequências, é necessário aplicar um filtro Gaussiano em uma imagem representada por seu espectro de Fourier, e a componente de frequência zero deve ser transladada para o centro do espectro. Nesse experimento, é necessário testar diferentes graus de suavização, de forma a borrar a imagem com mais ou menos intensidade.

### II. ENTRADA DE DADOS

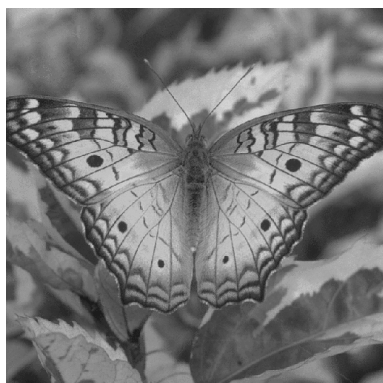
O código fonte criado para a execução de todas as tarefas está no notebook **Trabalho 01.ipynb**. O código foi criado para aceitar imagens em tons de cinza no formato RGB (*Red, Green and Blue*) do tipo PNG (*Portable Network Graphics*).

Para executar o notebook, basta iniciar o ambiente *Jupyter Notebook*, abrir o notebook **Trabalho 01.ipynb** e executar as células em ordem. Todo o algoritmo foi implementado na linguagem Python na versão 3.6.

As imagens de entrada utilizadas nos testes do algoritmo foram retiradas da página do prof. Hélio Pedrini: [Imagens](#). Na pasta **imgs/** estão as duas imagens monocromáticas utilizadas nos testes: **baboon.png** e **butterfly.png**. As



**Figura 1:** *baboon.png*



**Figura 2:** *butterfly.png*

dimensões das imagens de entrada utilizadas são 512x512.

### III. CÓDIGO E DEFINIÇÕES

i. Preenchimento de borda

As imagens de entrada foram carregadas em memória utilizando uma função do **OpenCv** [1] que lê a imagem em escala de cinza e salva em uma estrutura  $I_{m \times n}$ , na qual  $m$  e  $n$  representa a largura e a altura da imagem, respectivamente.

Para a aplicação da operação de convolução na imagem, foi necessário realizar um pré-processamento chamado de *padding*. A operação de *padding* é usada para gerar espaços em torno do conteúdo de um elemento, nesse caso,

a imagem. Nesse trabalho, o *padding* gerado nas imagens foi de tamanho  $\lfloor \frac{x}{2} \rfloor$ , onde  $x$  é a dimensão do filtro que será convoluído com a imagem. Todo o *padding* foi preenchido com o valor 0, ou seja, com a cor preta.

## ii. Convolução 2D

Convolução 2D é uma operação que, a partir de imagem e um filtro, resulta em uma terceira imagem que mede a soma do produto da imagem e o filtro inicial ao longo da região subentendida pela superposição delas em função do deslocamento existente entre elas.

Diagram illustrating the calculation of the adjoint matrix for a 3x3 matrix. The original matrix is shown on the left, and the adjoint matrix is shown on the right. The adjoint matrix is the transpose of the cofactor matrix. The cofactor matrix is calculated by taking the determinant of the 2x2 submatrices formed by removing the row and column of the element being cofactored. The adjoint matrix is then formed by transposing the cofactor matrix.

1	2	3
4	5	6
7	8	9

	$-1$	$0$	$1$
$-1$	$-1$	$-2$	$-1$
$0$	$0$	$0$	$0$
$1$	$1$	$2$	$1$

$-13$	$-20$	$-17$
$-18$	$-24$	$-18$
$13$	$20$	$17$

**Figura 3:** Exemplo de imagem, filtro e resultado da convolução, respectivamente.

A operação de convolução, primeiramente, rotaciona o filtro em  $180^\circ$  e depois multiplica *pixel a pixel*, da seguinte forma:

The first grid shows the addition of 1 and 2 to get 3. The second grid shows the addition of 0 and 0 to get 0. The third grid shows the addition of -1 and -2 to get -3.

**Figura 4:** Exemplo de aplicação de convolução 2D.

Nesse trabalho, foram utilizados 2 tipos de filtros:

1. Filtro passa-alta: filtros utilizados para realçar certas características presentes nas

imagens, tais como bordas, linhas ou regiões de interesse [2].

2. Filtro passa-baixa: filtros utilizados para suavizar as imagens, uma vez que as frequências altas correspondem às transições abruptas são atenuadas [2].

Os filtros  $h_1$ ,  $h_3$  e  $h_4$  são exemplos de filtros passa-alta. Já o filtro  $h_2$  é um exemplo de filtro passa-baixa. A seguir temos a exemplificação gráfica desses filtros.

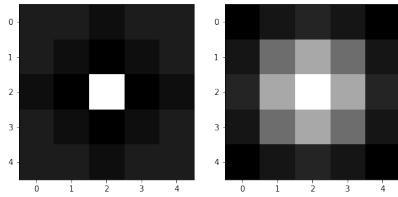


Figura 5: Filtros  $h_1$  e  $h_2$ .

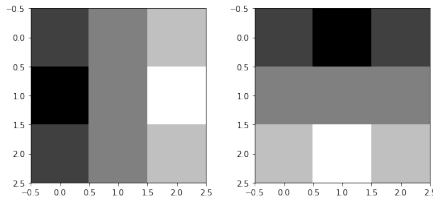


Figura 6: Filtros  $h_3$  e  $h_4$ .

### iii. Redimensionamento

A operação de redimensionamento foi utilizada para transformar as saídas da operação de convolução 2D, que não necessariamente estavam no intervalo de escalas de cinza de  $[0, 255]$ , de volta ao intervalo de escalas de cinza representado por inteiros de 8 bits.

### iv. Transformada Discreta de Fourier

A Transformada Discreta de Fourier (DFT) é uma transformação de coordenadas em componentes pertencentes ao conjunto dos números complexos, em que cada coeficiente é obtido

pela combinação linear dos elementos da entrada com o núcleo da transformada [2].

A Transformada de Fourier para duas variáveis pode ser escrita da seguinte forma:

$$F(u, v) = \int_{-\infty}^{\infty} \int_{-\infty}^{\infty} f(x, y) \exp[-j2\pi(ux + vy)] dx dy$$

e a partir de  $F(u, v)$ , pode-se obter  $f(x, y)$  através da Transformada Inversa de Fourier:

$$f(x, y) = \int_{-\infty}^{\infty} \int_{-\infty}^{\infty} F(u, v) \exp[j2\pi(ux + vy)] du dv.$$

Na filtragem no domínio de frequência, o principal objetivo, é que as operações de convolução possuem o custo computacional menor do que no domínio espacial. Portanto, normalmente, o processamento de imagens possuem a seguinte sequência.

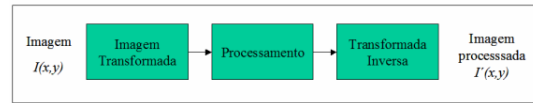


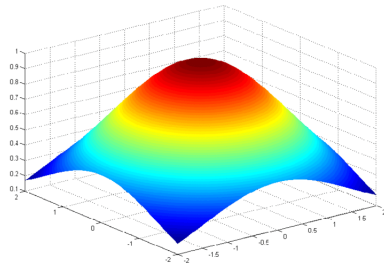
Figura 7: Sequência usualmente utilizada para as operações de processamento de imagens.

### v. Filtro Gaussiano

Os filtros Gaussianos são um tipo de filtro passa-baixa, os quais suavizam a imagem filtrada. Nos filtros Gaussianos, os coeficientes da máscara são derivados a partir de uma função Gaussiana bidimensional [2]. A função Gaussiana discreta com média zero e desvio padrão  $\sigma$  é definida como

$$G(x, y) = \frac{1}{2\pi\sigma^2} \exp\left(\frac{-(x^2 + y^2)}{2\sigma^2}\right).$$

As variações de sigma utilizados neste trabalho foram:  $\sigma = [2, 4, 8, 16, 32, 64]$ .



**Figura 8:** Exemplificação gráfica de um filtro Gaussiano.

#### IV. SAÍDA DE DADOS

Os imagens resultantes da seção 1.1 e 1.2 foram salvas dentro da pasta **resultados/** utilizando uma função da biblioteca **matplotlib** chamada **matplotlib.pyplot.imsave()** [3].

O formato dos nomes de saída estão da seguinte forma: para a seção 1.1 o padrão é o nome da imagem de entrada (*baboon* ou *butterfly*) concatenado com o nome do filtro aplicado sobre ela.

#### V. RESULTADOS

##### REFERÊNCIAS

- [1] Welcome to opencv documentation!  
<https://docs.opencv.org/2.4/index.html>  
Acesso em: 15/04/2019.
- [2] Pedrini, Hélio, and William Robson Schwartz. *Análise de imagens digitais: princípios, algoritmos e aplicações*. Thomson Learning, 2008.
- [3] Matplotlib Version 3.0.3  
<https://matplotlib.org/contents.html>  
Acesso em: 15/04/2019.